

B-mode 斷層像에서의 超音波 빔의 屈折 影響

崔宗秀

= Abstract =

Effects of Refraction of Ultrasonic Beam on B-mode Tomograms

Jong-Soo Choi

This paper describes about effects of refraction of ultrasonic beam on B-mode tomogram. Both computation based on Snell's law and the experiments performed using B-mode scanner and schlieren optical method are discussed on a circular phantom immersed in water. In these results, if the discrepancy of sound velocity is more than 0.6%, the distortion of the B-mode image becomes conspicuous and a target beyond the phantom may disappear or displayed as two targets depending on the velocity of the phantom.

1. 序論

超音波診斷裝置는 人體適用에 容易하고, X-線과 달리 人體無害한 實時間映像裝置라는 利點때문에 最近 그 利用度가 부쩍 늘어가고 있다. 이는 1972年 X-line CT scanner의 發明에 힘입어 요 몇 년 사이에 급격히 變化한 것 같다.

그림 1은 超音波診斷裝置의 概念圖이다. 이의 基本原理는 rader 혹은 soner 와 다를 바 없다. 즉 探觸子로부터 生體內로 放射된 超音波는 傳播媒質中에 異質物이 存在하면, 反射와 散亂을 일으키는 性質이 있다. 따라서, 超音波빔에 따라 보내진 超音波가 順次의으로 反射되어 되돌아오게 된다. 이때 探觸子內의 電磁器는 彈性振動 등의 스트레스를 받으면 그 強度에 比例한 電界를 發生하므로(壓電逆效果), 發射된 하나의 超音波펄스는 生體內 여러 깊이의 각點으로부터 反射되어 오고, 이는 그림 1(a)와 같이 時間軸 t 上에 펄스列를 만들어낸다(A-mode). 이 펄스列의 각 強度를 輝度變調하여 上記 時間軸에 對應된 한 개의 라스터($x(t)$)上에 表示하고, 그다음 다시 探觸子를 連續的으

로 生體위에서 移動(y 方向 走査)시킴에 의해 그때 그 때의 각各을 라스터 上에 나타내면, 生體의 斷層像을 그림 1(c)와 같이 CRT 上에 表示할 수 있다.

이 移動을 電子的으로 高速走査시킴에 의해 生體內部의 動的畫像을 얻을 수 있다(電子走査型超音波診斷裝置).

그러나 이 裝置의 基本原理에는 아직도 解決되지 못하고 있는 難點이 있다. 즉, 超音波빛이 生體內部를 透過하여 되돌아오는 그 傳播路가 直線上에 있다고 가정하여 表示하는데 問題가 있다. 따라서 CRT 上에 나타난 生體內部의 斷層像은 超音波빔의 屈折等으로 因해 實際斷面과는 다르게 表示되어 나오게 된다^{1,2)}. 이 屈折의 影響이 B-mode 斷層像의 畫質을 劣下시키는 가장 큰 要因中 하나로 되어있고, 또한 醫師의 立場으로 看을 때 誤診의 우려마저 있다.

本論文은 어떤 媒質中에 이것과는 다른 性質의 圓柱物體를 두고, 여러 경우에 對한 超音波屈折의 影響을 數值的으로 計算 나타냄과 동시에 簡單한 phantom 을 利用 實驗的으로 確認한 것이다⁴⁾. 그 結果, 이를 바탕으로 醫師들의 診斷에 도움을 주고자 함에 있다.

2. 實驗 및 結果

그림 2는 周圍媒體(音速 v_2)中에 그것과 音速이 다

<1981. 12. 3. 접수>

中央大學校 電子工學科

Dept. of Electronic Eng., Chungang University

* 本稿는 日本超音波醫學會(1981年 11月 3日) 및 大韓電子工學會(1981年 11月 26日)에 發表한 것임.

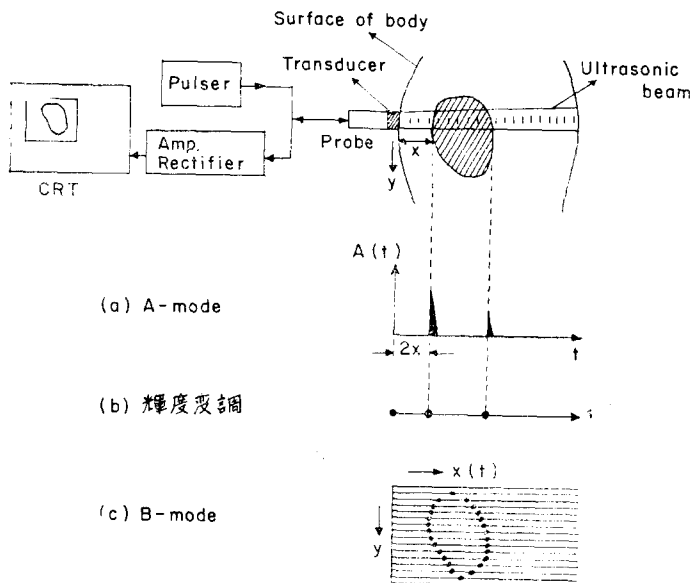


그림 1. 超音波診斷裝置의 原理
Fig. 1. Principle of ultrasonic diagnosis equipment

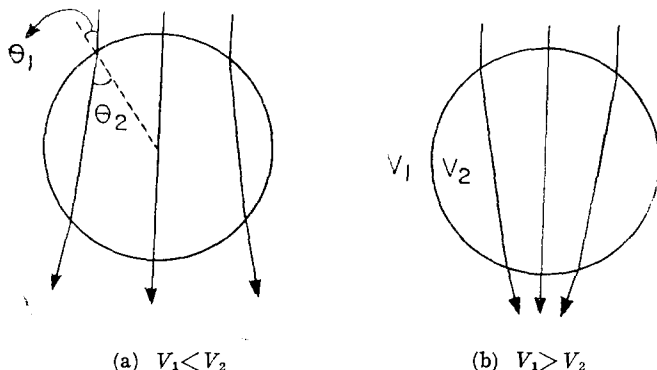


그림 2. 超音波빔의 屈折
Fig. 2. Refraction of ultrasonic beam

론 圓柱物體(音速 v_2)을 두었을 때, 超音波의 屈折狀態를 나타내고 있다. 즉,

Snell의 法則³⁾에 따라

$$\frac{\sin\theta_1}{v_1} = \frac{\sin\theta_2}{v_2} \quad (1)$$

入射角 θ_1 이 클수록(그림 2의 端部), 또 媒體의 音速
差가 클수록 屈折角 θ_2 는 크게 된다.

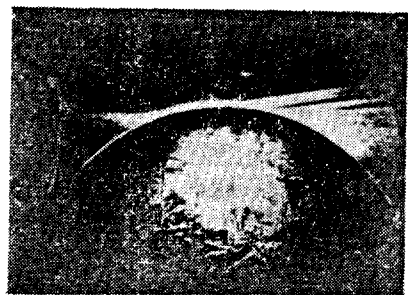
그림 3은 超音波의 屈折狀態를 Schlieren 光學裝置에 의해 觀測한 것이다. 물($v_1 = 1500 \text{ m/s}$) 속에서 (a)는 砂糖을 넣어 만든 寒天($v_2 = 1540 \text{ m/s}$)을, 또 (b)는 에칠알콜($v_2 = 1350 \text{ m/s}$)을 고무봉지에 넣은 것을, 각각 나타낸 것이다.

音波差比

$$VR = (v_2 - v_1) / v_1 \times 100\% \quad (2)$$

는 각각 2.6% 및 -10%이다. 그림 2로부터 音速이 다른 媒體의 境界에서 빛의 屈折狀態를 確認할 수 있다.

그림 4는 屈折에 의한 斷層像의 쪘그레짐을 數值의 으로 나타내기 위해, 音速差比 VR이 5%에서 -4% 까지 變化되는 物體를 計算機 속에서 想定하고, 이의 結果를 그림으로 나타내 본 것이다. 그림에서처럼 物體의 音速 v_2 가 周圍音速 v_1 보다 빠를 경우 圓柱의 下半圓이 實際보다 矮게, 그리고 $v_1 > v_2$ 일 경우, 反對로下半圓이 實際보다 高게 (實際보다 크게) 表示된다.



(a) $V_1 < V_2$ ($VR = 2.6\%$)

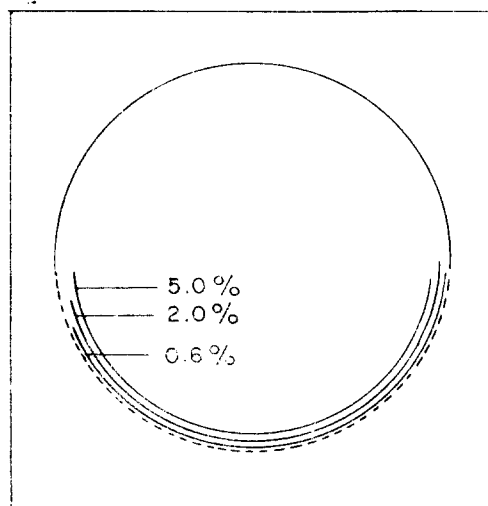


(b) $V_1 > V_2$ ($VR = -10\%$)

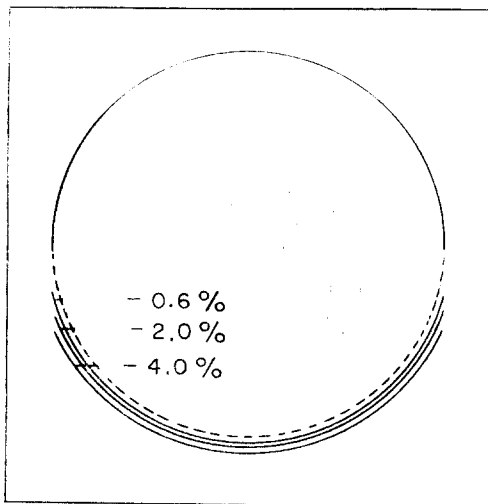
그림 3. Schlieren 光學裝置에 의해 觀察된 超音波波
Fig. 3. Ultrasonic beam measured by Schlieren optical system

그림 5는 고무봉지 속에 에칠알콜을 넣어 水中에 두고, linear 電子走査型裝置에 의해 觀察한 B-mode 斷層像이다. 下半圓이 實際보다 길게 觀察되어 있고, Schlieren 光學裝置 및 計算機 simulation 으로부터의結果와 一致하고 있다. 特히, 그림 5의 (b)에 나타낸 것과 같이 phantom(音速 v_2)보다 遠方에 있는 小物體 T가 phantom의 兩側部 바로 밑에 있으면, 超音波가 中心方向으로 屈折하기 때문에 (傳搬路 B), 音波가 到達하지 못하는 藐의 部分(shadow, tadpole tail)이 생겨서 T는 CRT 上에 表示되지 못하고 만다. 따라서 入射角이 큰 兩側部에서는 表示되지 못하는 部分이 나타나게 되고, v_1 과 v_2 와의 音速差가 크면 클수록 shadow의 面積은 크게 된다.

그림 6은 그림 5와 반대로 물보다 音速이 빠른 食鹽水 ($v_2 = 1770 \text{ m/s}$)를 고무봉지 속에 넣어 phantom으로써 利用하여, 觀測한 B-mode 斷層像이다. 이 경우는下半圓이 實際보다 짧게 表示되어 있다. 또 音波는 外側으로 屈折하므로 그림에서처럼 遠方에 있는 1개의



(a) $V_1 < V_2$



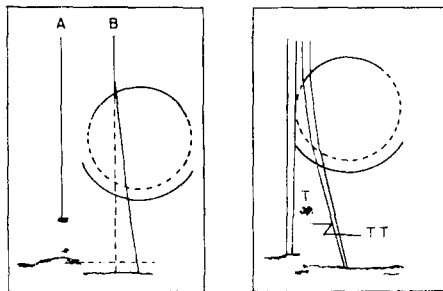
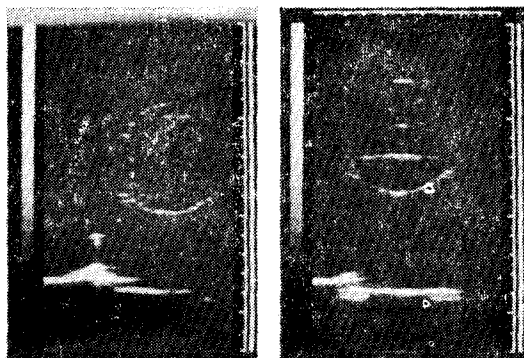
(b) $V_1 > V_2$

그림 4. 計算機 simulation 의 結果
Fig. 4. Results of computer simulation

小物體 T가 傳搬路 B에 따라 反射되어 와 그 發射地點을 있는 直線(그림의 點線)上의 한곳에 V라고 하는 거짓像을 한개 더 나타내고 있다.

3. 結論

音速差가 다른 物體의 境界面에 入射하는 超音波波



(...; Actual phantom's interface, T; Non-displaced target, TT; tadpole tail(shadow))

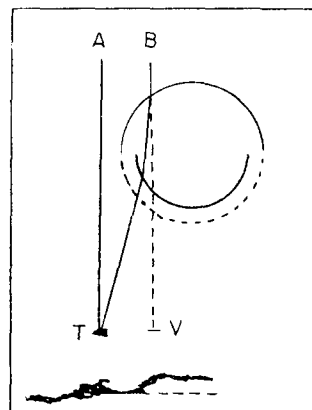
그림 5. $V_1 > V_2$ 인 경우의 B-mode斷層像
Fig. 5. B-mode images of $V_1 > V_2$ (phantom; ethyl alcohol, VR = -10%)

의 屈折狀態를 計算機 simulation 및 實驗을 통하여, 이것이 B-mode斷層像에 미치는 畫質의 影響에 관해 檢討했다. 本報告가 產婦人科에서의 胎兒頭部 크기의 確認等, 超音波診斷分野에서 事前知識으로 有効하다면 다행이겠다.

感謝의 말：本實驗을 行하는데 있어 有効한 助言을 주신 日本 Aloka(株), 研究所 C. Kasai 博士, 實驗에 協助해주신 S. Kasori, T. Itoh 兩氏에 感謝한다.

參 考 文 獻

- 1) J.S. Choi, et al.: "Influence of the Wave Characteristics on Ultrasonic CT", Japanese J. of Ultrasonic Medicine, 7.1, p. 35-44, 1980.
- 2) D.E. Robinson, et al.: "Shadowing and Enhancement in Ultrasonic Echograms by Reflection and Refraction", J. Clin. Ultrasound, 9, p. 181-188, 1981.
- 3) P.N.T. Wells.: Physical Principles of Ultrasonic Diagnosis, Academic Press, 1969.
- 4) J.S. Choi, et al.: "Effects of Refraction of Ultrasonic Beam on B-mode tomograms", Proc. of Japan Soci. of Ultrasonic Medicine, 39-C-73, p. 547, 1981.



(T: True target, V: Virtual target,; actual phantom's interface)

그림 6. $V_1 < V_2$ 인 경우의 B-mode斷層像

Fig. 6. B-mode image of $V_1 < V_2$ (phantom; saline water, VR = 18%)